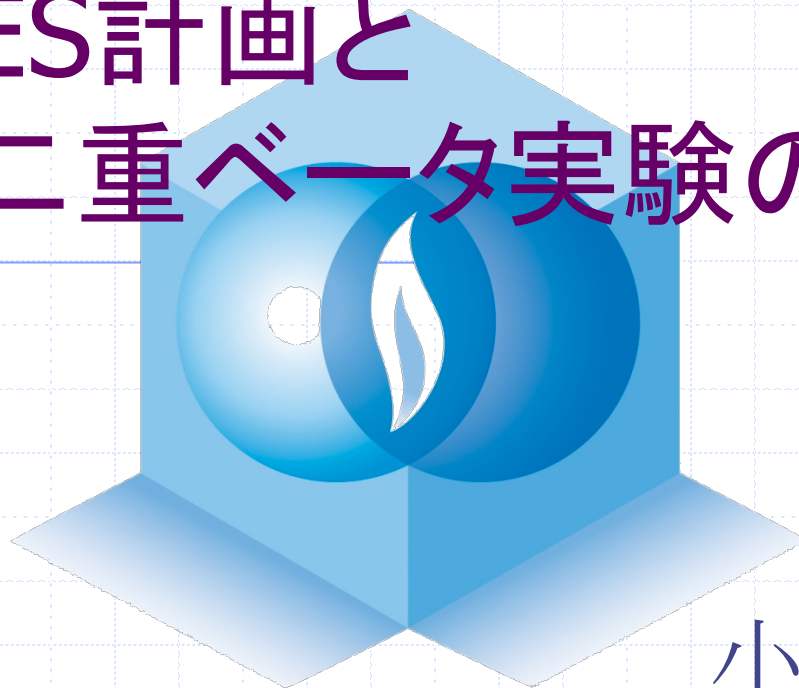


CANDLES計画と 世界の二重ベータ実験の状況



小川 泉

Candles

Double beta decay

◆ ニュートリノを放出する二重ベータ崩壊

- 標準模型内; 実験的に確認済み

◆ ニュートリノ放出を伴わない二重ベータ崩壊

- 未確認 $T_{1/2}^{0\nu\beta\beta} \geq 10^{25}$ years

- ◆ cf. H.V. Klapdor-Kleingrothaus *et al.*

$$T_{1/2}^{0\nu\beta\beta} = 1.19 \times 10^{25} \text{ years}$$

- 確認されると

- ◆ ニュートリノはマヨラナ粒子である
- ◆ レプトン数保存則の破れ \longleftrightarrow 物質/反物質の非対称性
- ◆ 有効マヨラナニュートリノ質量

$$[T_{1/2}^{0\nu}(0^+ \rightarrow 0^+)]^{-1} = G^{0\nu}(E_0, Z) |M_{0\nu}|^2 \langle m_\nu \rangle^2$$



次世代検出器

◆ 高感度検出器の開発

■ 大型検出器

◆ $N_{\text{target}} > 10^{26}$

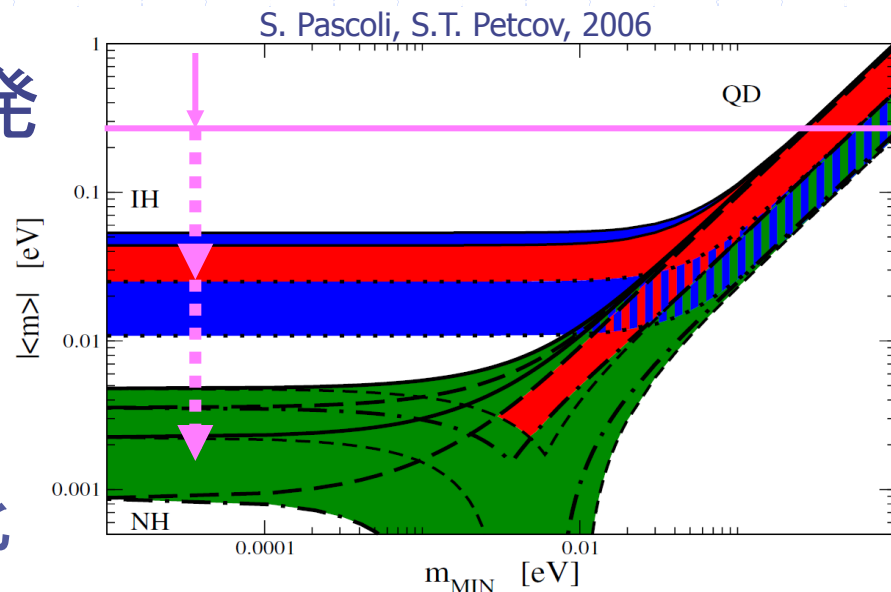
■ 低バックグラウンド化

◆ BGがある場合

$$\langle m_\nu \rangle = (2.50 \times 10^{-8} \text{ eV}) \left[\frac{W}{\sum_{\alpha \in G^{0\nu}} |M^{0\nu}|^2} \right]^{1/2} \left[\frac{b\Delta E}{MT} \right]^{1/4}$$

◆ BGが無視できる場合

$$\langle m_\nu \rangle = (2.67 \times 10^{-8} \text{ eV}) \left[\frac{W}{\sum_{\alpha \in G^{0\nu}} |M^{0\nu}|^2} \right]^{1/2} \times \frac{1}{\sqrt{MT}}$$





プロジェクト

◆ 二重ベータ崩壊実験

重要開発項目

- 検出器の大型化
- バックグラウンドの低減

終了

HDM実験(^{76}Ge)

現時点でのニュートリノ質量で世界最高感度
メンバーの一部が発見したとの報告 ??

稼働中

NEMO3(^{100}Mo) \Rightarrow SuperNEMO(^{82}Se)

電子の飛跡を観測 検出効率低い

CUORICINO(^{130}Te) \Rightarrow CUORE(^{130}Te)

ボロメータとして観測 次期計画に移行中

計画・建設中

国外

上記以外にMajorana(^{76}Ge), GERDA(^{76}Ge),
COBRA(^{116}Cd), EXO(^{136}Xe), NEXT(^{136}Xe),
SNO+(^{150}Nd)など

国内

CANDLES(^{48}Ca), MOON(^{100}Mo), KamLAND+(^{136}Xe),
XMASS(^{136}Xe), DCBA(^{150}Nd)

Overview of Experiments

Name	Nucleus	Mass*	Method	Location	Time line
Operational & recently completed experiments					
CUORICINO	Te-130	11 kg	bolometric	LNGS	2003-2008
NEMO-3	Mo-100/Se-82	6.9/0.9 kg	tracko-calo	LSM	until 2010
Construction funding					
CUORE	Te-130	200 kg	bolometric	LNGS	2012
EXO-200	Xe-136	160 kg	liquid TPC	WIPP	2009 (comiss.)
GERDA I/II	Ge-76	35 kg	ionization	LNGS	2009 (comiss.)
SNO+	Nd-150	56 kg	scintillation	SNOlab	2011
Substantial R&D funding / prototyping					
CANDLES	Ca-48	0.35 kg	scintillation	Kamioka	2009
Majorana	Ge-76	26 kg	ionization	SUSL	2012
NEXT	Xe-136	80 kg	gas TPC	Canfranc	2013
SuperNEMO	Se-82 or Nd-150	100 kg	tracko-calo	LSM	2012 (first mod.)
R&D and/or conceptual design					
CARVEL	Ca-48	tbd	scintillation	Solotvina	
COBRA	Cd-116, Te-130	tbd	ionization	LNGS	
DCBA	Nd-150	tbd	drift chamber	Kamioka	
EXO gas	Xe-136	tbd	gas TPC	SNOlab	
MOON	Mo-100	tbd	tracking	Oto	
Other decay modes					
TGV	Cd-106		ionization	LSM	operational

*: mass of DBD-isotopes; detector & analysis inefficiencies NOT included! Range: 18% to ~90%



Experimental figure of merit

× イメージを表示できません。スクリプト不足のためにイメージを開くことができないか、イメージが破損している可能性があります。コンピューターを再起動して再度ファイルを開いてください。それでも赤いxが表示される場合は、イメージを削除して挿入してください。

$$F = \frac{\varepsilon f_x G^{0\nu} |M^{0\nu}|^2}{W} \sqrt{\frac{MT}{b\Delta E}}$$

ε : detection efficiency
 f_x : isotopic abundance
 W : molecular weight
 $G^{0\nu}$: phase space factor
 $M^{0\nu}$: nuclear matrix element
 M : source mass
 T : measuring time
 b : background rate in c/(keV·kg·yr)
 ΔE : energy resolution

二重ベータ崩壊核

◆ 二重ベータ崩壊の Q 値

- 自然放射能の影響(バックグラウンド)

$$E_{\gamma}^{\max} = 2.6 \text{ MeV } (^{208}\text{Tl}) \quad E_{\beta}^{\max} = 3.27 \text{ MeV } (^{214}\text{Bi})$$

◆ 自然存在比

- enrichment

isotope	Q (keV)	ab.(%)									
46Ca	990.4	0.004	98Mo	112	24.13	130Te	2529	34.08	170Er	654	14.93
48Ca	4272	0.187	100Mo	3034	9.36	134Xe	830	10.44	176Yb	1087	12.76
70Zn	1001	0.62	104Ru	1300	18.62	136Xe	2468	8.87	186W	488	28.43
76Ge	2039	7.61	110Pd	2000	11.72	142Ce	1417	11.114	192Os	414	40.78
80Se	134	49.61	114Cd	537	28.73	146Nd	70	17.2	198Pt	1047	7.163
82Se	2995	8.73	116Cd	2805	7.49	148Nd	1929	5.7	204Hg	416	6.87
86Kr	1256	17.3	122Sn	366	4.63	150Nd	3368	5.6	232Th	842	100
94Zr	1144	17.4	124Sn	2287	5.79	154Sm	1251	22.75	238U	1145	99.28
96Zr	3350	2.8	128Te	867	31.74	160Gd	1730	21.86			

 $Q > 3.3 \text{ MeV} ; Q_{\beta}(^{214}\text{Bi})=3.27 \text{ MeV}$

 $Q > 2.0 \text{ MeV}$

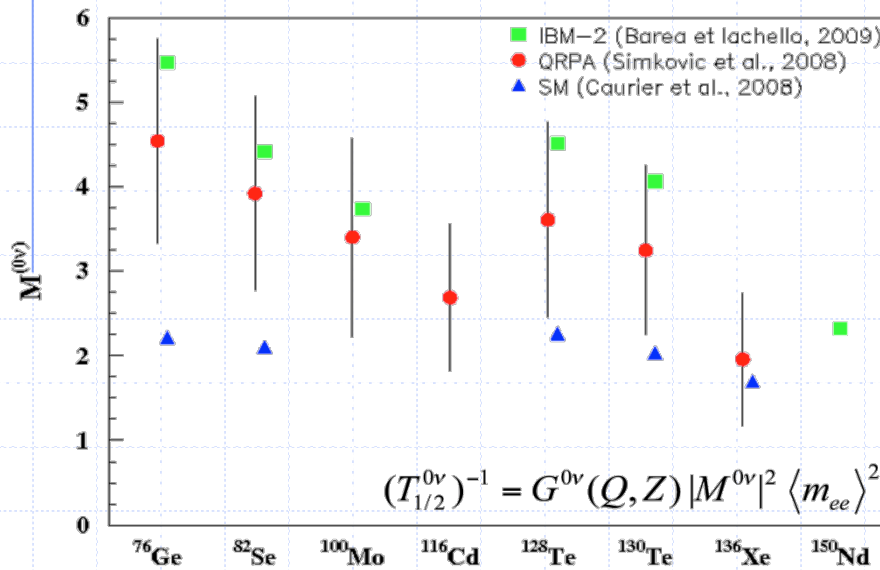
V.I. Tretyak and Y.G. Zdesenko 2002



核行列要素(1)

S. Schönert, TAUP 2009

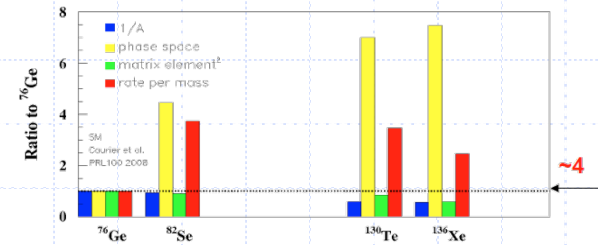
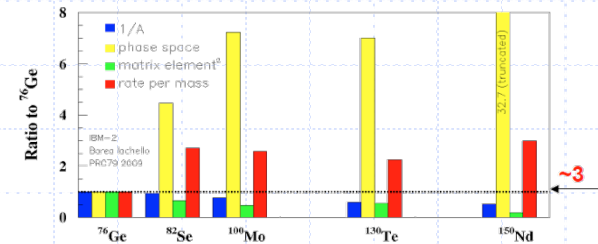
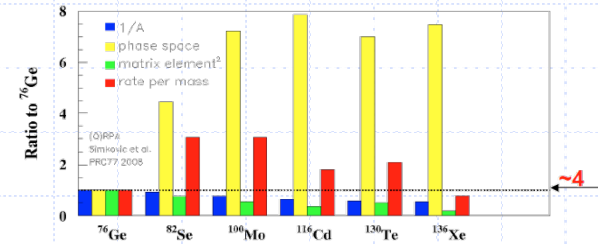
Comparison of DBD isotopes:
Recent calculations of nuclear matrix elements



QRPA
(Simkovic et al.
PRC 77, 2008)

IBM2
(Barea and
Iachello, PRC
79, 2009)

SM
(Caurier et al.,
PRL 100, 2008)

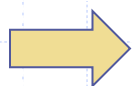




核行列要素(2)

Interacting Shell Model (Caurier et al., PRL 100, 2008)

	$M^{(0\nu)}$	$\langle m_\nu \rangle$
$^{48}\text{Ca} \rightarrow ^{48}\text{Ti}$	0.59	1.07
$^{76}\text{Ge} \rightarrow ^{76}\text{Se}$	2.22	0.91
$^{82}\text{Se} \rightarrow ^{82}\text{Kr}$	2.11	0.46
$^{124}\text{Sn} \rightarrow ^{124}\text{Te}$	2.02	0.48
$^{128}\text{Te} \rightarrow ^{128}\text{Xe}$	2.26	1.68
$^{130}\text{Te} \rightarrow ^{130}\text{Xe}$	2.04	0.37
$^{136}\text{Xe} \rightarrow ^{136}\text{Ba}$	1.70	0.47



不定性あり
数種の原子核での測定が必要

Experimental figure of merit

× イメージを表示できません。メモリ不足のためにイメージを開くことができないか、イメージが破損している可能性があります。ビューワーを再起動して再度ファイルを開いてください。それでも赤いxが表示される場合は、イメージを削除して挿入してください。

$$F = \frac{\varepsilon f_x G^{0\nu} |M^{0\nu}|^2}{W} \sqrt{\frac{MT}{b\Delta E}}$$

f_x : isotopic abundance
 ε : detection efficiency
 W : molecular weight
 $G^{0\nu}$: phase space factor
 $M^{0\nu}$: nuclear matrix element
 M : source mass
 T : measuring time
 b : background rate in c/(keV·kg·yr)
 ΔE : energy resolution

検出器のタイプによる分類

◆ Source = detector

○ ΔE

Semiconductor

COBRA

Majorana

GERDA

○ ΔE

Bolometer

CUORE/CUORICINO

Scintillator

CANDLES

KamLAND

SNO+

◆ Source \neq detector

Time Projection, tracking
& Drift Chambers

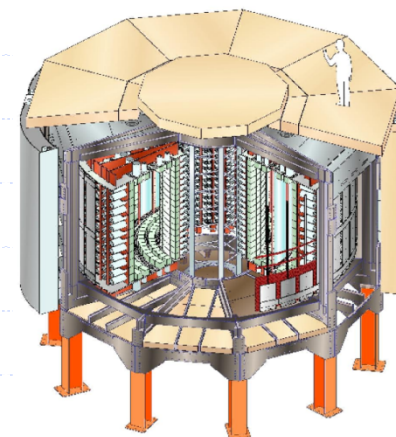
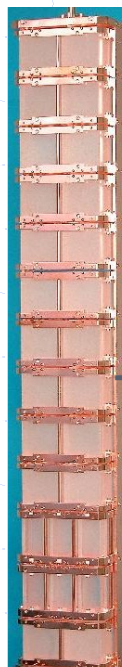
NEMO/Super-NEMO

DCBA

EXO

○ b

× ε



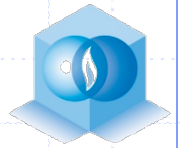
バックグラウンドの比較

◆ 検出器サイズあたりのBackground rate

$b\Delta E$ (counts/kg/year)

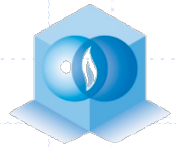
の比較

Target	Project	Status	Abund. (%)	Background rate (counts/kg/year)
^{48}Ca	ELEGANT VI	Finish	0.187	0 (measured) 0.075 (expected)
	CANDLES III	Constr.	0.187	5×10^{-4} (exp.)
^{76}Ge	HDM	Finish	~86	0.61 (meas.)
^{130}Te	CUORICINO	Finish	33.9	2.4 (meas.)
	CUORE	Const. R&D	33.9	0.8 (CUORE-0;exp.) $10^{-2} \sim 10^{-3}$ (Goal)
^{136}Xe	EXO-200	Constr.	~80	0.1 (exp.)



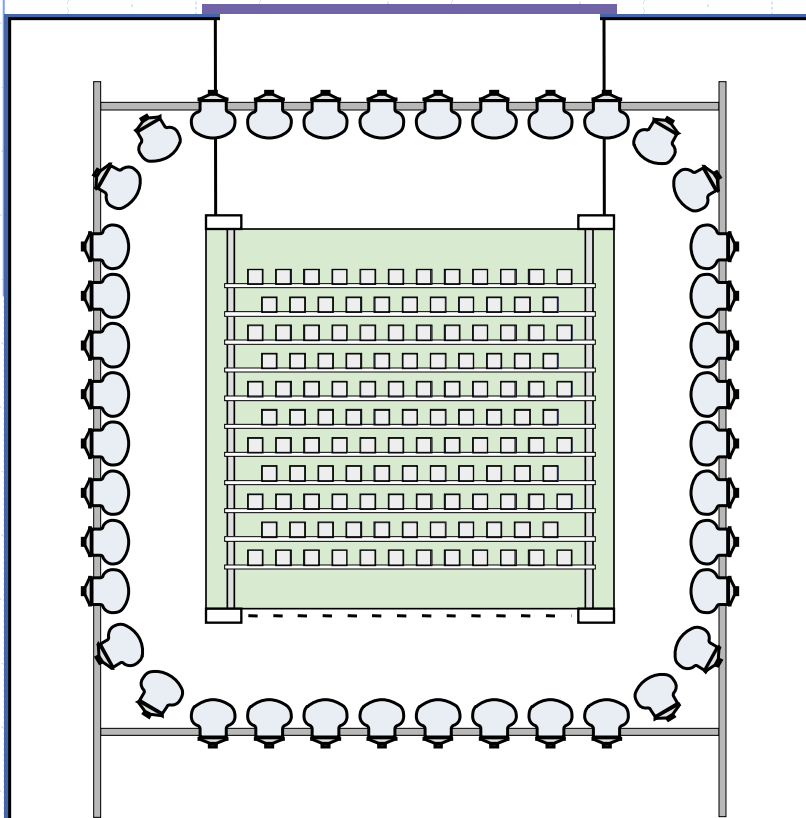
Candles

CANDLES Project



CANDLES

Calcium fluoride for studies of Neutrino and Dark matters
by Low Energy Spectrometer



- ◆ undoped CaF_2 ($\text{CaF}_2(\text{pure})$)
 - ^{48}Ca ($Q_{\beta\beta}=4.27$ MeV)
 - Atten. length > 1 m
 - Low radioactive impurities
- ◆ Low background detector
 - 4π active shield (LS)
 - Passive shield (Water, LS)
 - Pulse shape information
- ◆ Good energy resolution
 - large photo-coverage
 - Two phase LS system



Candles

BG reduction / rejection
— 4π active shield —



Candles

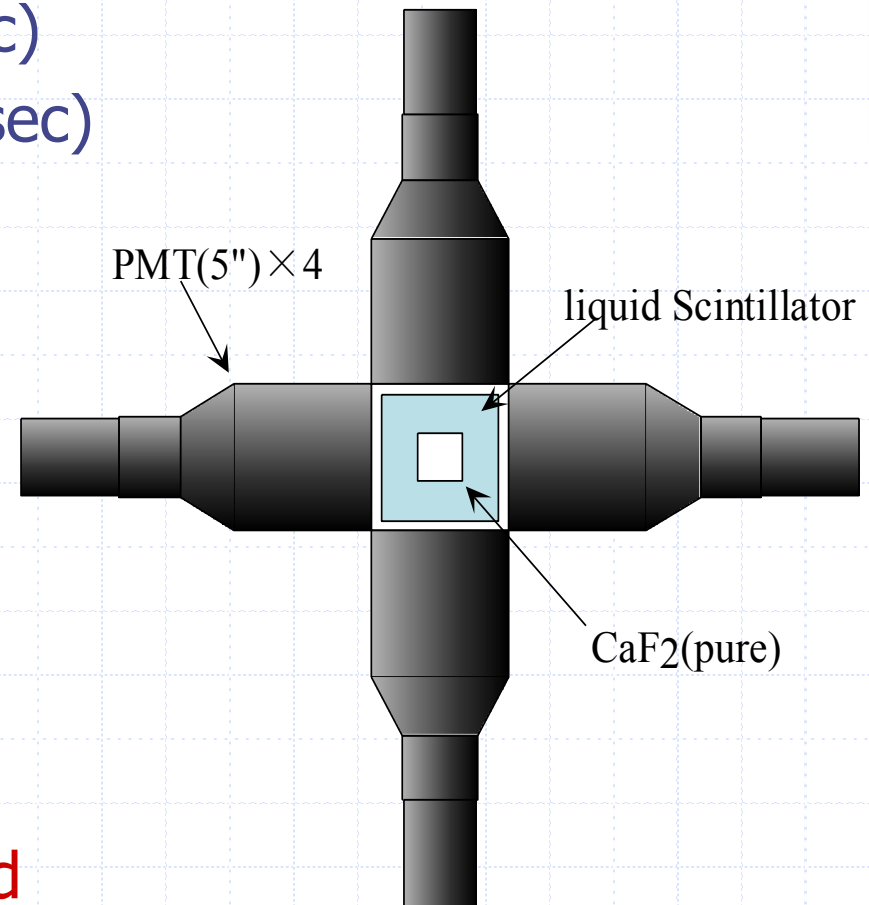
CANDLES I

- POP (Proof of Principle) Detector

- ◆ CaF_2 (pure) crystal ($\sim 1 \mu\text{sec}$)
in liquid scintillator ($\sim 10 \text{ nsec}$)
(with w.l. shifter)
viewed by 4 PMTs (5 inch)

- ◆ LS : mineral oil
+ DPO (3 g/l)
+ Bis-MSB (0.3 g/l)

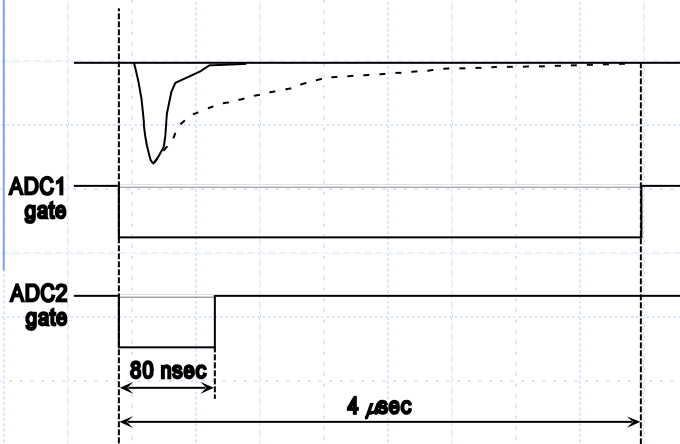
➔ 4π active shield



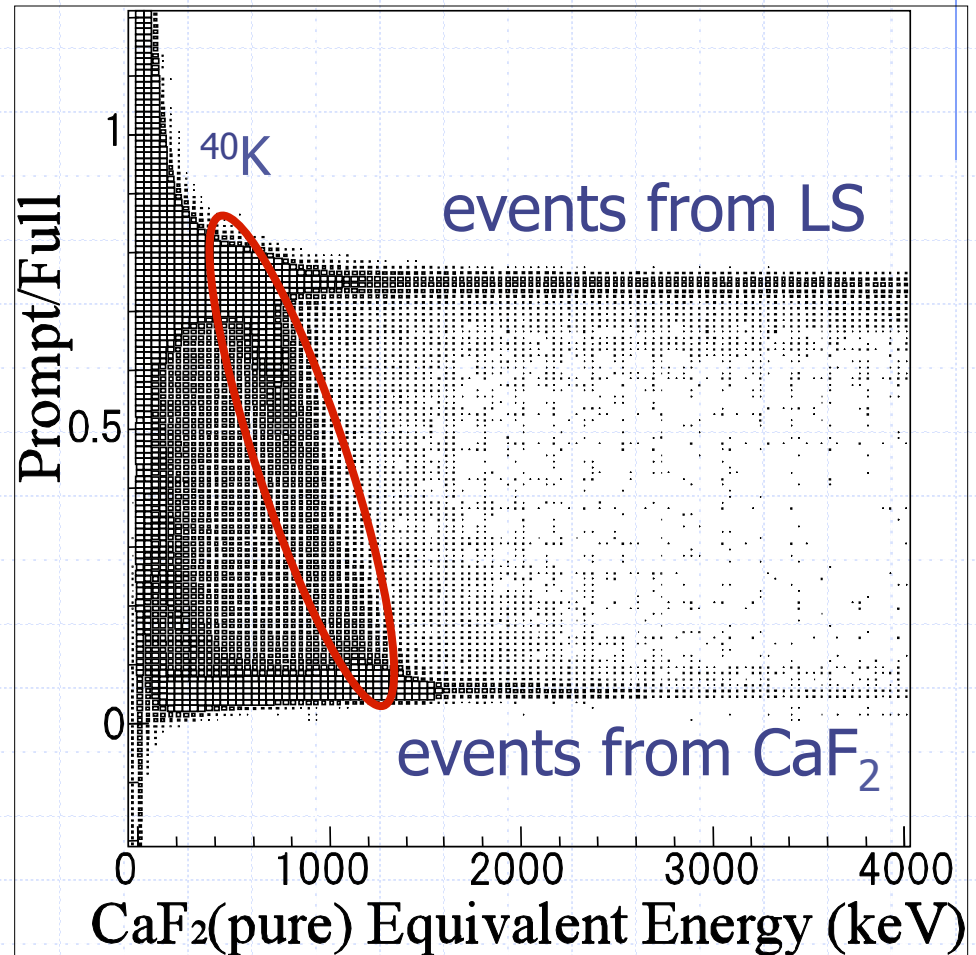


Performance Test (4π active shield)

2 ADCs with different gate width



Clear separation between CaF_2 and LS





Candles

BG reduction / rejection

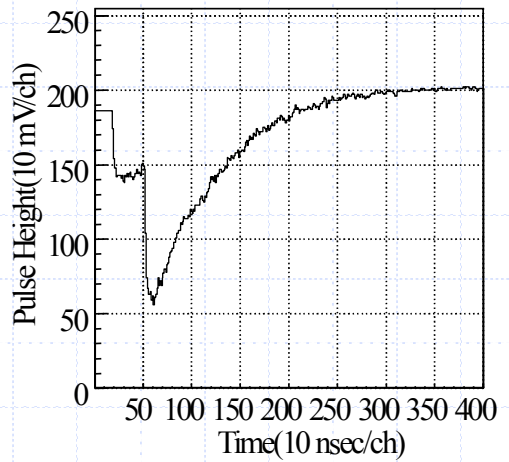
— Internal BG (U, Th)—



Successive decays in CaF₂ scintillator

◆ BG

■ Successive decays in U, Th



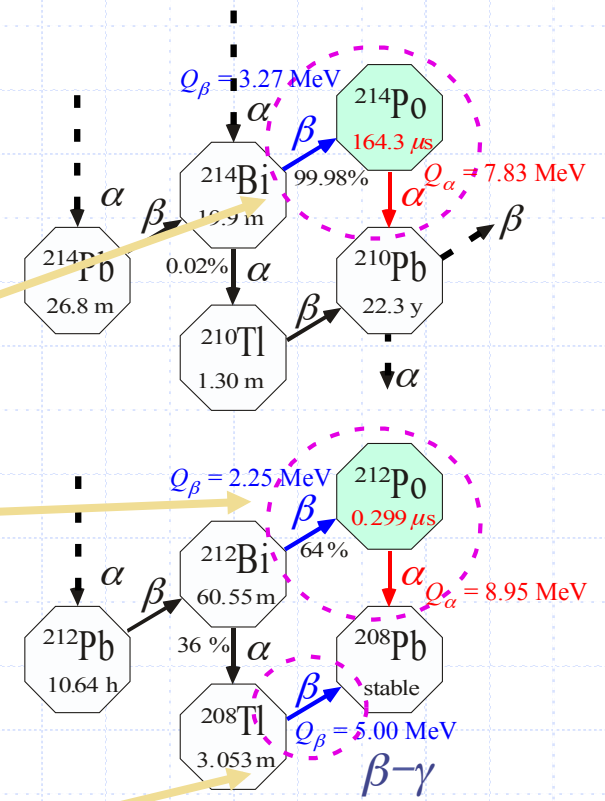
²¹⁴Bi (U)

²¹²Bi (Th)

$$E_{vis} = Q_{\beta} + Q_{\alpha} \times f \approx Q_{\beta\beta}$$

f : Quenching factor for α

■ ²⁰⁸Tl : $\beta-\gamma$



$E_{max} = 5.8 \text{ MeV (U)}$
 5.3 MeV (Th)

Development of High Purity CaF_2 Crystals

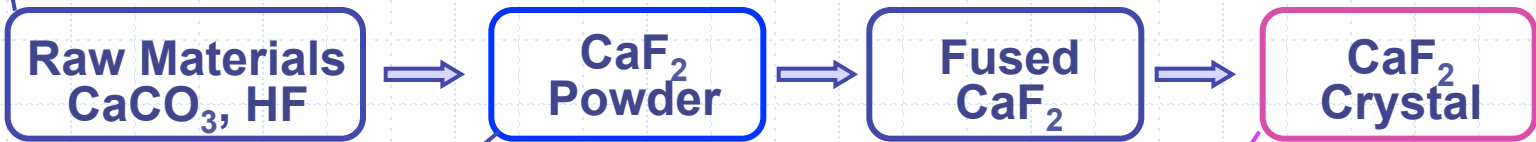


$\text{CaF}_2(\text{Eu})$ in ELEGANT VI

U-chain(^{214}Bi) : 1100 $\mu\text{Bq/kg}$

Th-chain(^{220}Rn) : 98 $\mu\text{Bq/kg}$

U and Th
(ICP-MS)



Radioactivities in CaF_2 Powder
(HPGe measurement)

Radioactivities in $\text{CaF}_2(\text{pure})$ Crystal
(α -ray measurement)



Powder selection
Crystal growing

101 crystals

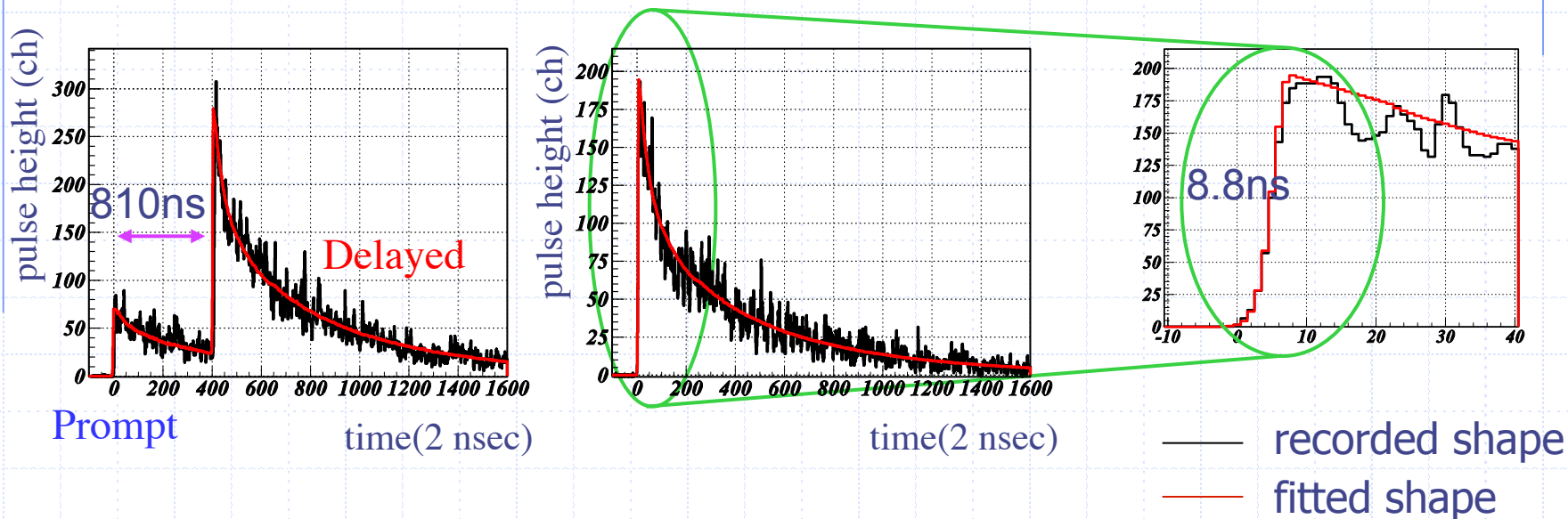
U-chain(^{214}Bi) $\sim 36 \mu\text{Bq/kg}$... 1/30 of Previous Crystals ($14 \pm 5 \mu\text{Bq/kg}$; Best)

Th-chain(^{220}Rn) $\sim 28 \mu\text{Bq/kg}$... 1/3 of Previous Crystals ($6 \pm 1 \mu\text{Bq/kg}$; Best)



Rejection of Double Pulse(DP)

Typical Pulse Shapes

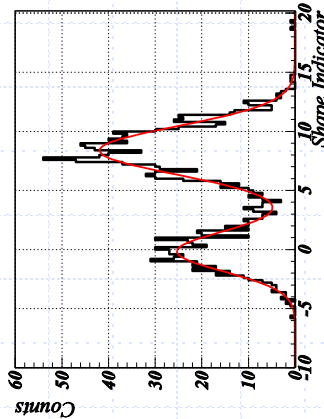
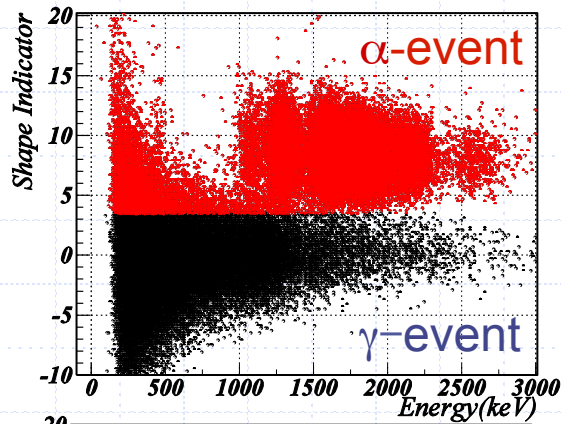


‘Dirty’ CaF₂ crystal

Pulse Shape Discrimination

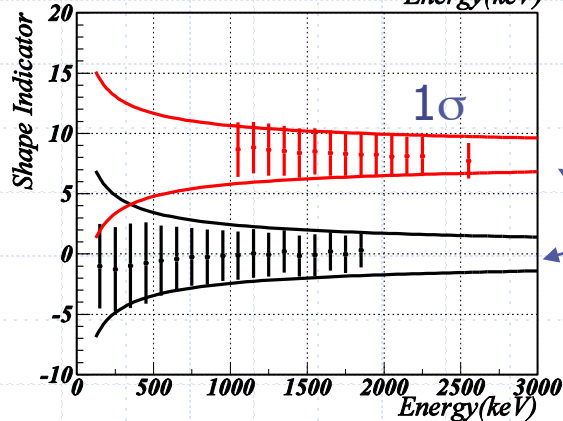
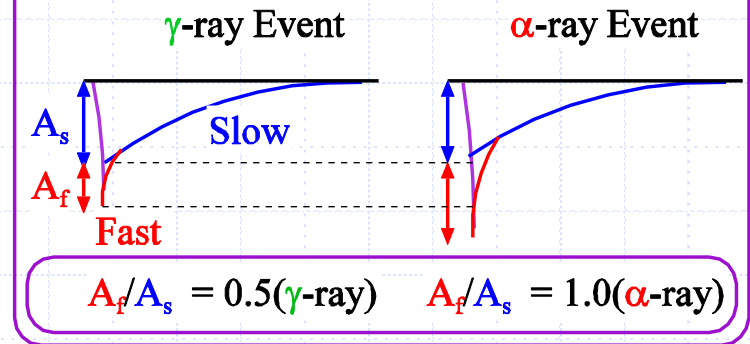
◆ Pulse Shape discrimination

- Shape Indicator (PRC **67**(2003) 014310)

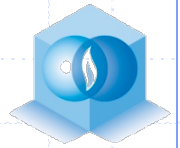


Difference in decay shape between α and γ rays

PSD between γ and α rays



mean value:
no energy dependence (>1 MeV)



Candles

CANDLES III

CANDLES III (prototype)

- ◆ Constructed at Osaka Univ. (sea level)
 - small version for R&D
 - check the performance of CANDLES
- ◆ CaF_2 modules
 - $10^3 \text{ cm}^3 \times 60$ crystal; 191 kg
 - with conversion phase
- ◆ Liquid scintillator
 - $\phi 1000 \times h 1000$ acrylic container
- ◆ H_2O Buffer : passive shield
 - $\phi 2800 \times h 2600$
- ◆ PMTs
 - 15" PMT ($\times 8$) : R2018
 - 13" PMT ($\times 32$) : R8055

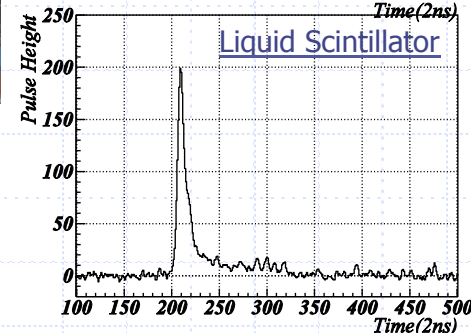
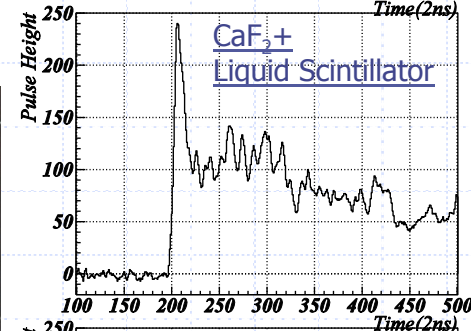
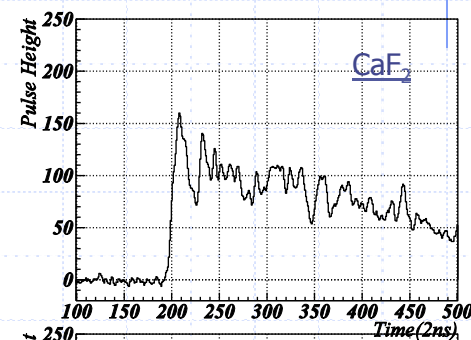
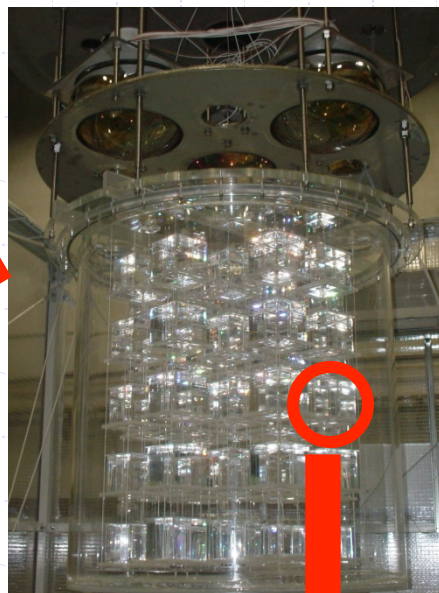
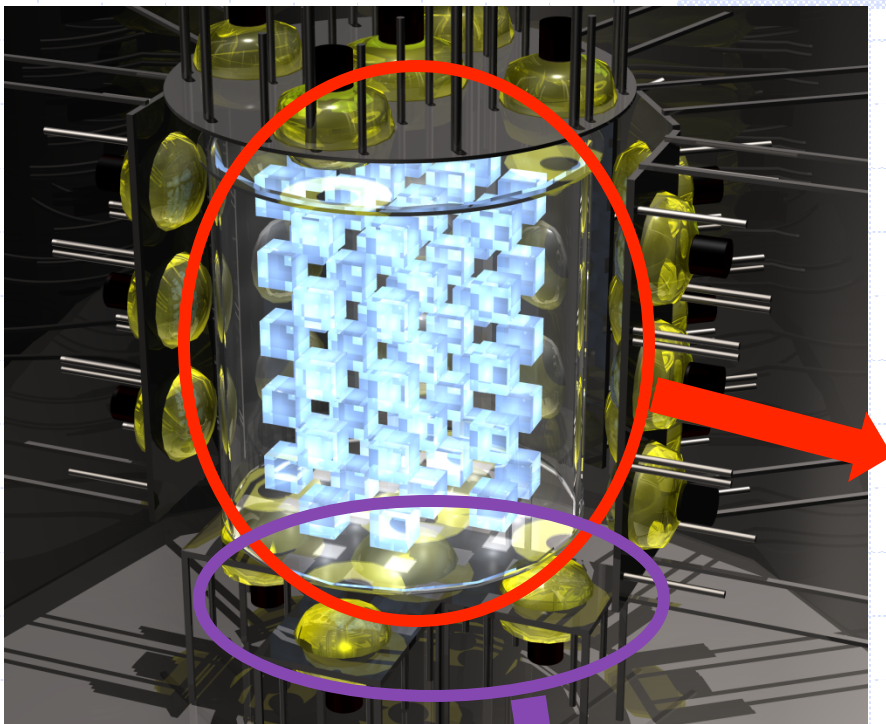
1 "calibration" crystal (#60)
(High Contamination in U, Th)
65 mBq/kg (U-chain),
28 mBq/kg (Th-chain)

CANDLES III



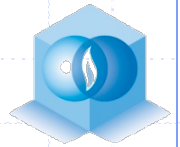
Candles

CaF₂: 191 kg
10³ cm³ × 60



40 PMTs

Tank: $\phi 2.8 \times h 2.6$ m

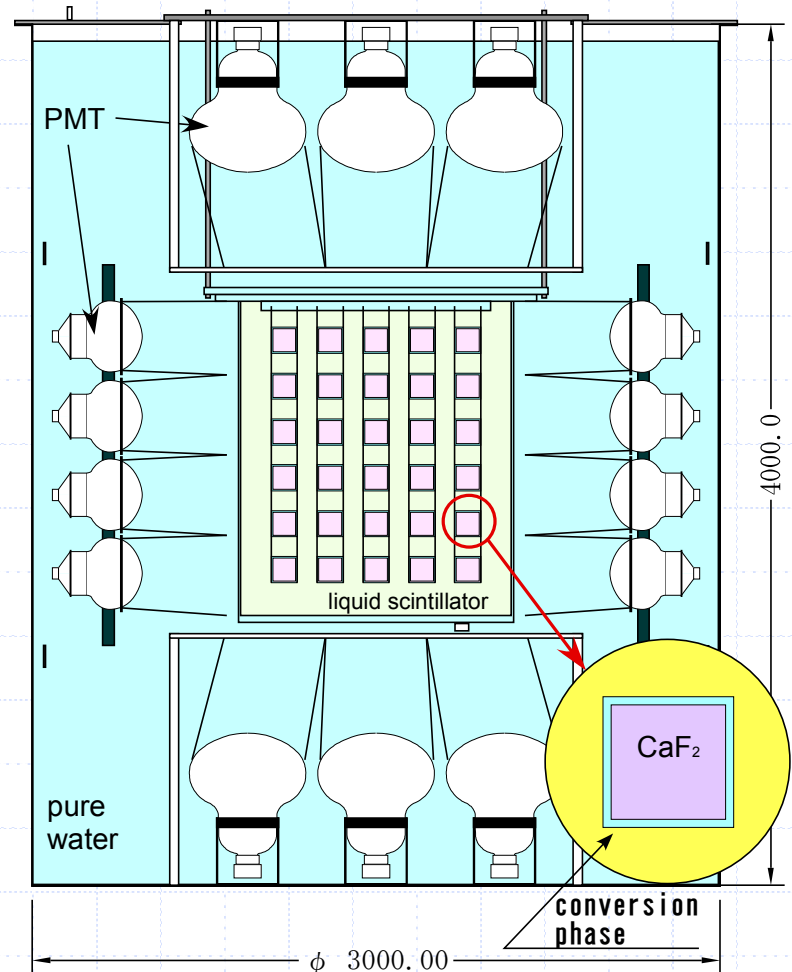


Candles

CANDLES III (U.G.) @Kamioka

CANDLES III(U.G.)

- ◆ **CaF₂(pure)**
 - 10³ cm³ × 96 crystals; 305 kg
- ◆ **Liquid scintillator**
 - two phase system
 - Purification system
- ◆ **H₂O Buffer**
 - passive shield (larger tank)
- ◆ **PMTs**
 - 17" PMT (×14) : R7250
 - 13" PMT (×56) : R8055
- ◆ **photon trans. simulation**
 - ➔ energy res. ~4.0 % @ $Q_{\beta\beta}$
- ◆ **Kamioka underground lab.**

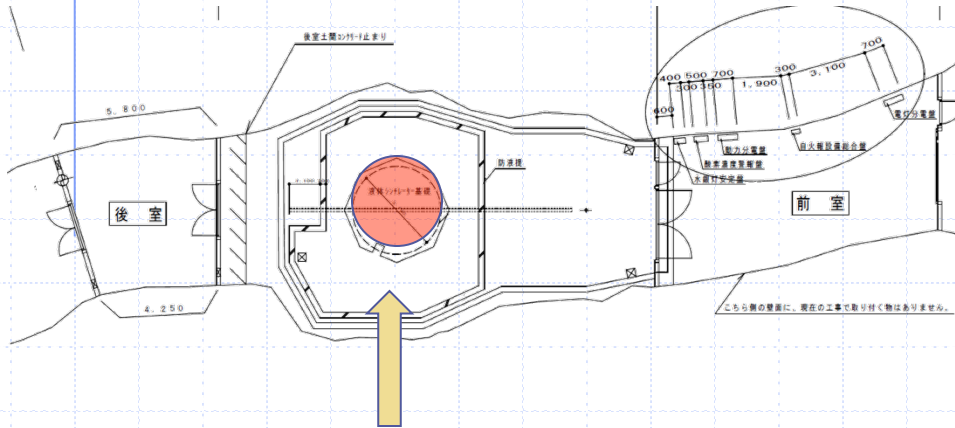




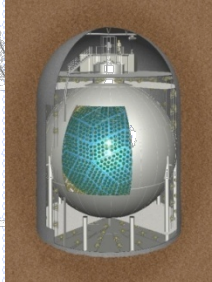
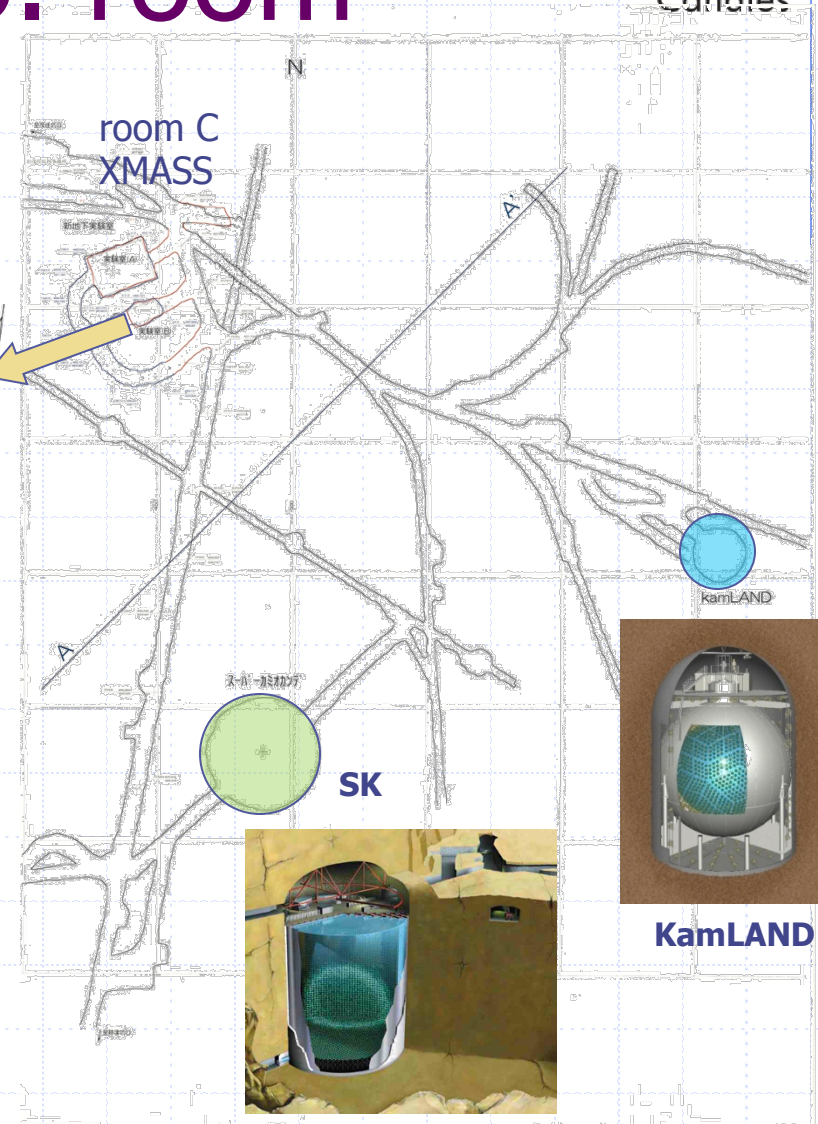
Candles

Kamioka new exp. room

◆ experimental room D



San-chika



KamLAND



CANDLES III (U.G.)





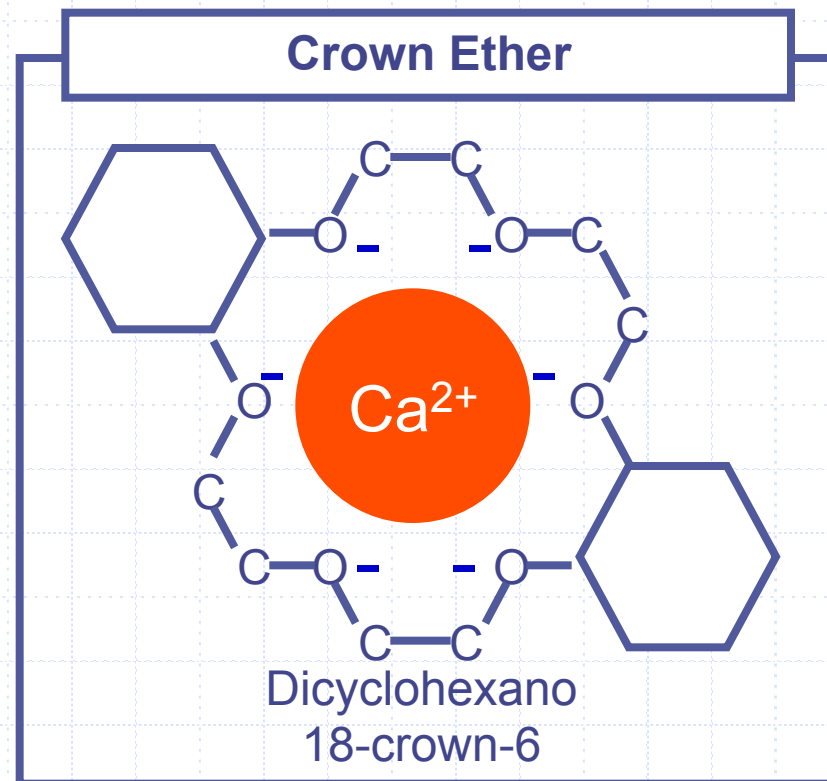
Candles

R&D for future large detector



Crown Ether

- ◆ Held by electrostatic attraction between negatively charged O⁻ of the C-O dipoles & ion (Ca²⁺)
- ◆ How well the ion fits into the crown ring
- ◆ Liquid (aq-salt)-liquid (org-crown) extraction in isotopic equilibrium

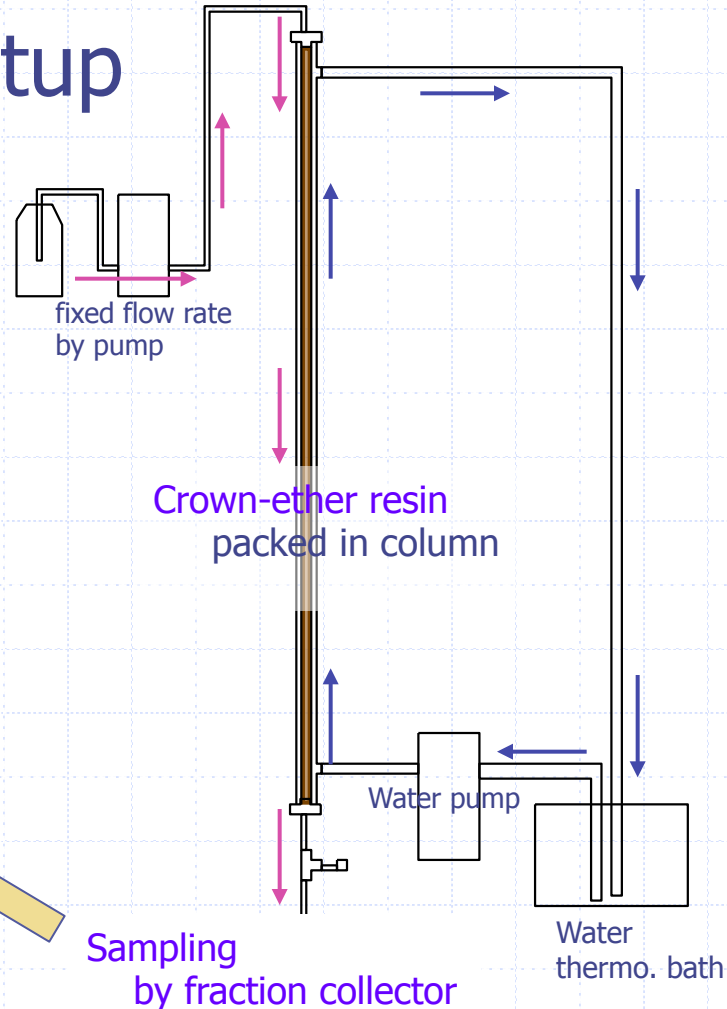


Chromatography

◆ Experimental Setup

Breakthrough method

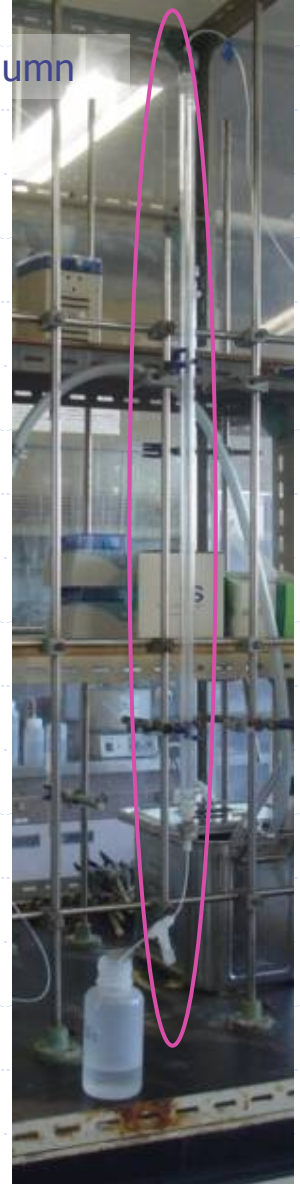
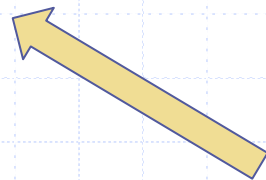
Ca Solution
 CaCl_2
+ HCl

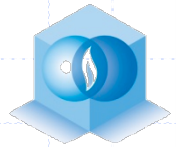


1m Glass Column

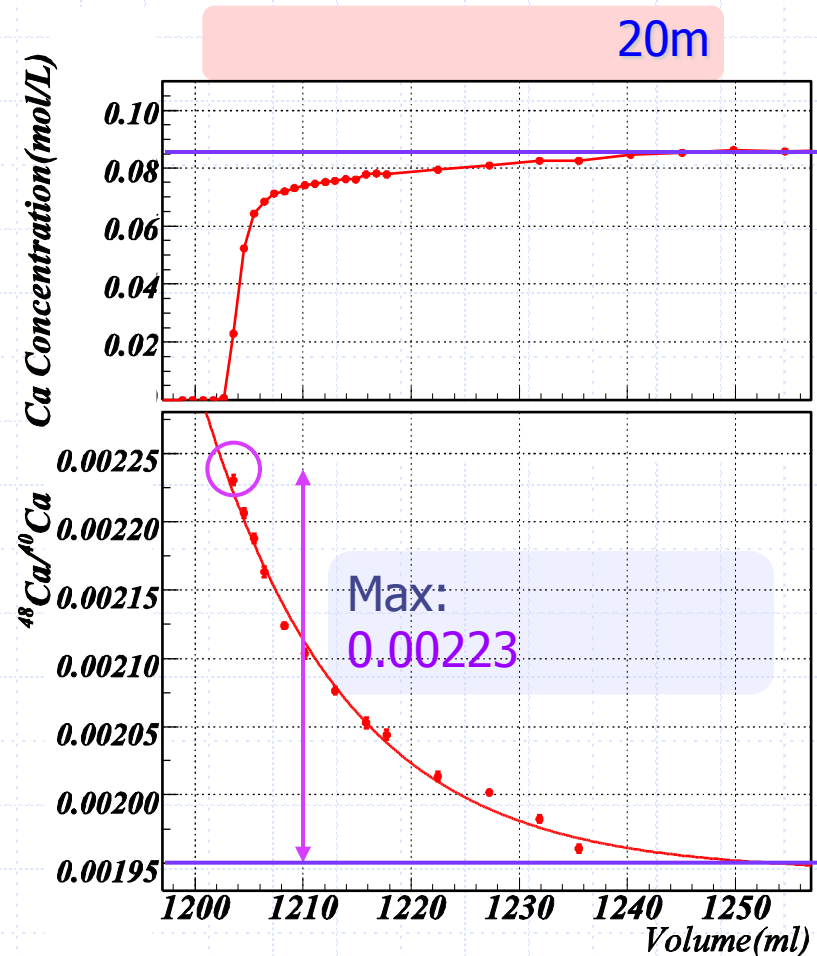
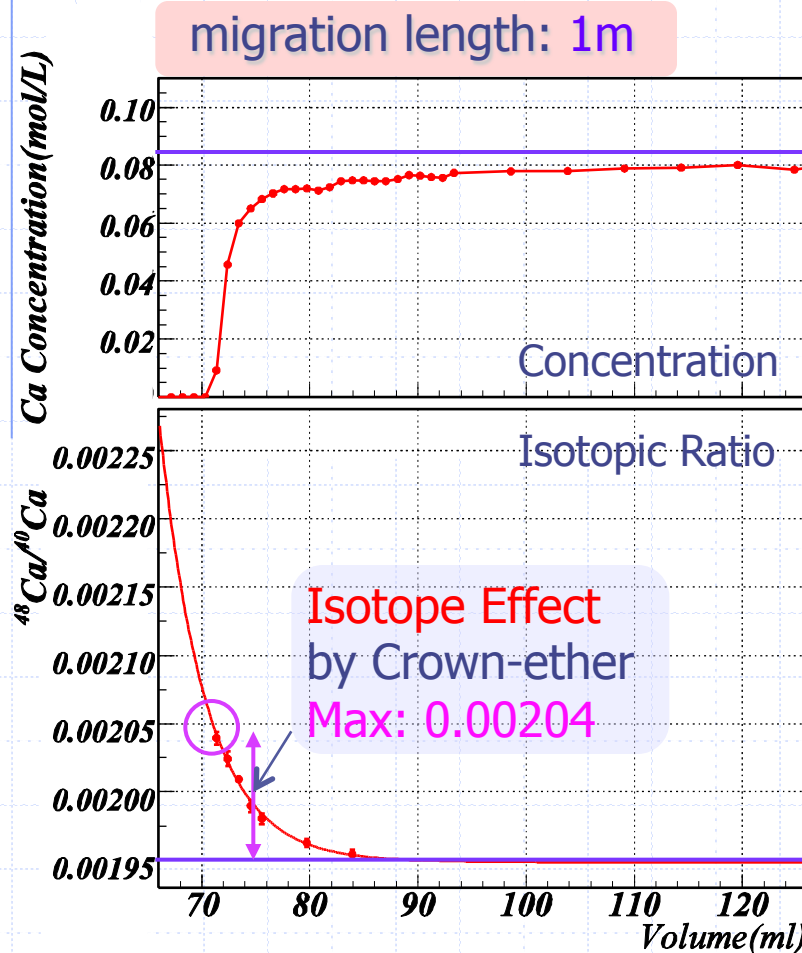
Measurement of

- Ca concentration
- isotopic ratio





^{48}Ca Enrichment by crown-ether



Further efforts for mass production

Summary & Outlook

